

18/V-70

А-941

ОБЪЕДИНЕННЫЙ
ИНСТИТУТ
ЯДЕРНЫХ
ИССЛЕДОВАНИЙ

Дубна.

Яоф, 1970, г.12, № 6, с. 1175-1182



P4 - 5008

Г.Н. Афанасьев

КЛАССИФИКАЦИЯ СОСТОЯНИЙ
И ВЗАИМОДЕЙСТВИЙ
В КОЛЛЕКТИВНОЙ МОДЕЛИ ЯДРА

АЛЬБОРИГИ ТЕОРЕТИЧЕСКОЙ ФИЗИКИ

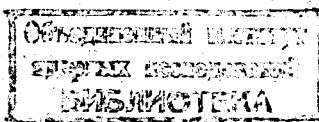
1970

P4 - 5008

Г.Н. Афанасьев

8325/2 из
КЛАССИФИКАЦИЯ СОСТОЯНИЙ
И ВЗАИМОДЕЙСТВИЙ
В КОЛЛЕКТИВНОЙ МОДЕЛИ ЯДРА

Направлено в ЯФ



1. Нашей целью является рассмотрение обобщенной модели ядра с точки зрения заложенных в ней свойств симметрии. Гамильтониан пятимерного сферически симметричного осциллятора имеет вид:

$$H_0 = \omega_0 b_{2\mu}^+ b_{2\mu}, \quad (1)$$

$$\mu = (2, 1, 0, -1, -2).$$

Здесь $b_{2\mu}^+$, $b_{2\mu}$ – операторы квадрупольных фононов. В дальнейшем мы выбираем фоковскую реализацию для операторов b :

$$b_{2\mu}^+ = x_\mu, \quad b_{2\mu} = p_\mu = \frac{\partial}{\partial x_\mu}.$$

О справедливости такого представления см., например, /1/. Операторы

$x_\mu p_\nu$ являются генераторами SU_5 -группы симметрии H_0 :

$$[H_0, x_\mu p_\nu] = 0.$$

Наличие таких коммутирующих с гамильтонианом операторов приводит к тому, что n фононный уровень энергии имеет кратность вырождения равную $\binom{n+4}{4}$, что совпадает с размерностью наиболее симметричного представления SU_5 . Это означает, что состояния, принадлежащие n фононному уровню, преобразуются между собой при действии $x_\mu p_\nu$ по неприводимому представлению SU_5 , имеющему только первый, отличный от нуля (и равный n) индекс. Включение взаимодействия между фононами приводит, как правило, к понижению симметрии гамильтониана и, следовательно, к снятию вырождения по квантовым числам, описываемым базисные векторы SU_5 . Взаимодействия, таким образом,

можно классифицировать смотря по тому, какие квантовые числа нарушаются этим взаимодействием.

2. Перейдем к построению базиса неприводимого представления SU_5 .

Одной из возможных является следующая схема редукции:

$$SU_5 \supset R_5 \supset R_3.$$

Выясним, на какие представления распадается неприводимое представление SU_5 при ограничении матрицами пятимерных вращений и на какие представления распадается неприводимое представление R_5 при ограничении трехмерными вращениями. Характеры неприводимых представлений SU_5 , R_5 и R_3 равны соответственно $1/2$:

$$\chi_n(SU_5) = \sum \exp [i(n_1\phi_1 + n_2\phi_2 + n_3\phi_3 + n_4\phi_4 + n_5\phi_5)],$$

$$\phi_1 + \phi_2 + \phi_3 + \phi_4 + \phi_5 = 0, \quad (2)$$

$$n_1 + n_2 + n_3 + n_4 + n_5 = n,$$

$$0 \leq n_i \leq n,$$

$$\chi_m(R_5) = \frac{\sin(m + \frac{3}{2})\phi_1 \sin \frac{\phi_2}{2} - \sin(m + \frac{3}{2})\phi_2 \sin \frac{\phi_1}{2}}{\sin \frac{3}{2}\phi_1 \sin \frac{\phi_2}{2} - \sin \frac{3}{2}\phi_2 \sin \frac{\phi_1}{2}}, \quad (3)$$

$$\chi_\ell(R_3) = T_\ell = \frac{\sin(\ell + \frac{1}{2})\phi}{\sin \frac{\phi}{2}}. \quad (4)$$

Матрицы пятимерных вращений получаются из пятимерных унитарных, если положить:

$$\phi_1 = -\phi_3, \phi_2 = -\phi_4, \phi_5 = 0. \quad (5)$$

Подставляя (5) в (2) и собирая коэффициенты при $x_m (R_5)$, находим:

$$x_n (SU_5) = x_n (R_5) + x_{n-2} (R_5) + \dots$$

Матрицы трехмерных вращений получаются из матриц пятимерных если положить:

$$\phi_1 = 2\phi_2 \equiv 2\phi. \quad (6)$$

Подставляя (6) в (3), получаем:

$$x_m (R_5) = \sum_{s=0}^m (r_{2s} - r_{-s}), \quad (7)$$

где мы положили:

$$r_s = T_{s+6} + T_{s-3} + T_{s-6} + \dots$$

Явный вид формул (7) дан в приложении 1.

3. Генераторы группы трехмерных вращений R_3 фиксируются требованием, чтобы операторы ψ_μ были неприводимыми тензорными операторами ранга 2 относительно R_3 :

$$T_0 = 2(x_2 p_2 - x_{-2} p_{-2}) + x_1 p_1 - x_{-1} p_{-1},$$

$$T_1 = \sqrt{2}(x_2 p_1 + x_{-1} p_{-2}) + \sqrt{3}(x_1 p_0 + x_0 p_{-1}), \quad (8)$$

$$T_{-1} = \sqrt{2}(x_1 p_2 + x_{-2} p_{-1}) + \sqrt{3}(x_0 p_1 + x_{-1} p_0).$$

Проиллюстрируем идею построения базиса для состояний с нулевым угловым моментом. Такие состояния должны быть скалярами относительно трехмерных вращений. Таким образом, приходим к задаче нахождения инвариантов трехмерной группы вращений. Согласно теореме Гильберта^{2/} каждый такой инвариант может быть представлен в виде полинома от конечного числа базисных инвариантов; таковых оказывается два:

$$I_2 = x_0^2 + 2(x_2 x_{-1} - x_1 x_{-2}),$$

$$I_3 = x_0^3 - 3x_0(x_1 x_{-1} + 2x_2 x_{-2}) + 3\sqrt{\frac{3}{2}}(x_2 x_{-1}^2 + x_{-2} x_1^2).$$

Инвариант степени n имеет вид:

$$|pq> = (I_2)^p (I_3)^q, \quad 2p+3q = n. \quad (9)$$

$|pq>$ реализует функциональный базис для состояний с нулевым угловым моментом. В справедливости того, что $|pq>$ действительно исчерпывают базисные инварианты (от пяти переменных) трехмерной группы вращений, можно убедиться, если заметить, что число целочисленных решений уравнения

$$n = 2p + 3q$$

совпадает с кратностью вырождения состояний с нулевым угловым моментом (см. приложение 1).

Аналогичные рассуждения для состояний с произвольным угловым моментом ℓ позволяют построить произвольное состояние SU_5 . При этом мы ограничимся построением приведенных базисных функций (для которых магнитное квантовое число m равно своему максимальному значению, то есть ℓ). Состояния с произвольным m получаются применением к приведенной функции достаточного числа раз оператора T_{-1} . Приведенные функции, описывающие n фононное состояние с орбитальным моментом ℓ , имеют вид:

a) для четных ℓ

$$|pq\ell n> = (I_2)^p (I_3)^q (x_2)^{\frac{\ell}{2} - 2p - 3q}, \quad l+2p+3q=n, \quad n=\frac{\ell}{2}-2p-3q. \quad (10.1)$$

$$\max(0, n - \ell) \leq 2p + 3q \leq n - \frac{\ell}{2},$$

$$p, q \geq 0;$$

б) для нечетных ℓ :

$$|_{p,q,\ell} \rangle = (I_2)^p \cdot (I_3)^q \cdot (x_2)^{\ell-n+2p+3q} \cdot u^{n-2p-3q} = \frac{\ell+3}{2 \cdot z},$$

$$\max(0, n - \ell) \leq 2p + 3q \leq n - \frac{\ell+3}{2},$$

$$y = \sqrt{3} x_1^2 - 2\sqrt{2} x_2 x_0, \quad (10.2)$$

$$z = x_1^3 - \sqrt{6} x_2 x_4 x_0 + 2 x_2^2 x_{-1}.$$

Таким образом, кроме квантовых чисел n , ℓ , необходимо задать числа p , q , т.е. число скалярных фононных дублетов и триплетов.

4. Хотя базисные функции (9,10) полны и имеют ясный физический смысл, они неудобны с математической точки зрения. Напомним определение тензорного оператора ранга ℓ относительно группы трехмерных вращений. μ -ая компонента тензорного оператора удовлетворяет соотношениям:

$$[T_0, f_\mu] = \mu f_\mu,$$

$$[T_1, [T_{-1}, f_\mu]] + [T_{-1}, [T_1, f_\mu]] + [T_0, [T_0, f_\mu]] = \ell(\ell+1) f_\mu, \quad (11)$$

$$[T_1, f_\ell] = [T_{-1}, f_{-\ell}] = 0.$$

Практически поступают так: решают уравнение (11) для одной компоненты, например для f_0 , а остальные получают коммутацией f_0 с T_1 и T_{-1} . f_0 ищем в виде

$$f_0 = \phi(\mu) x_{\mu \mu}. \quad (12)$$

Подставляя (12) в (11), получаем следующее уравнение для ϕ_μ :

$$[12 - 2\mu^2 - \ell(\ell+1)]\phi(\mu) = (2-\mu)(3+\mu)\phi(\mu+1) + \\ + (3-\mu)(2+\mu)\phi(\mu-1).$$

Отсюда следует:

$$\phi(\pm 1) = [1 - \frac{1}{4} \ell (\ell + 1)] \phi(\pm 2),$$

$$\phi(0) = \frac{(\ell + 2)(\ell - 1)(\ell - 3)(\ell + 4)}{6[4 - \ell(\ell + 1)]} \phi(\pm 1).$$

Значениями $\ell = 0, 1, 2, 3, 4$ исчерпываются генераторы SU_5 . Тензор нулевого ранга совпадает с $C_1 = x_\mu p_\mu$, т.е. с оператором Казимира первого порядка группы U_5 . При $\ell = 1$ получаем генераторы группы углового момента T_μ . Явный вид тензорных операторов Q_μ (ранга 2), $F(\ell = 3)$ и $H_\mu(\ell = 4)$ дан в приложении 2.

Совокупность операторов T_μ, F_k генерирует группу R_5 . Естественно поэтому маркировать базис SU_5 следующими квантовыми числами: n — собственным значением C_1 ; Λ — собственным значением $C_2(R_5)$ — оператора Казимира второго порядка группы R_5 ; ℓ , m — угловым моментом и его проекцией. Из приложения 1 следует, что внутри данного мультиплета R_5 состояния с данным ℓ встречаются несколько раз. Поэтому необходимо найти дополнительное квантовое число, снимающее вырождение по ℓ .

5. Заметим, что состояния (8) не инвариантны относительно вращений в пятимерном пространстве. Из (8), однако, можно составить собственную функцию $C_2(R_5)$, равного:

$$C_2(R_5) = T^2 + F^2,$$

$$T^2 = T_0(T_0 + 1) + 2T_{-1}T_1,$$

$$F^2 = F_0^2 + F_{-1}F_1 + 10F_{-2}F_2 + 10F_{-3}F_3 + 6T_0^2.$$

Действуем C_2 на $|q\rangle$:

$$C_2|q\rangle = 45q(q+1)|q\rangle - 45q(q-1)|q-2\rangle.$$

Ищем $\phi = \sum c(q)|q\rangle$, такие, чтобы $C_2\phi = \lambda\phi$. Этому можно удовлетворить, если для $C(q)$ выполняется следующее рекуррентное соотношение:

$$C(q+2) = \frac{45q(q+1)-\Lambda}{(q+1)(q+2)} C(q).$$

Условие обрыва ряда определяет собственные значения Λ и коэффициенты $c(q)$:

$$\lambda = 45q_0(q_0 + 1),$$

$$c(q) = c_0 \prod_{s=1}^{q_0-2} \frac{(q+2s)(q+2s-1)}{(q-q_0^2+2s)(q+q_0+2s-1)},$$

$$c_0 = \frac{1}{45} c(q_0).$$

Можно показать, что $q_0 = \frac{1}{b} \ell_0$, где ℓ_0 — максимальное значение углового момента для данного представления R_5 . Имея скалярную приведенную функцию, легко построить функцию, отвечающую угловому моменту ℓ . Например, для $\ell_0 = 0 \pmod{3}$ имеем:

$$f_2^p f_4^q (F_3)^2 |n, \ell\rangle$$

$$2p + 4q + 3r = \ell, \quad p + 2q - r = \omega,$$

$$f_2 = F_0 F_2 - \frac{1}{5} \sqrt{\frac{3}{2}} (F_1^2 - T_1^2) - \frac{1}{\sqrt{2}} F_{-1} F_3 - F_2$$

$$- \frac{1}{2} (\sqrt{3} T_{-1} F_3 + T_0 F_2 + \frac{1}{5} T_1 F_1),$$

$$f_4 = 2\sqrt{3} F_1 F_3 + 5F_2^2 - 2\sqrt{2} T_1 F_3.$$

При этом функции с одинаковым ω , ℓ и различными p , q оказываются линейно зависимыми.

6. Включим взаимодействие между фононами. При этом мы ограничимся сферически симметричными двухчастичными, не нарушающими эрмитовости гамильтониана и сохраняющими число фононов. Самое общее взаимодействие такого типа имеет вид

$$V = \sum_{LM} G_L [xx]_M^L [pp]_M^L.$$

L принимает значение 0, 2, 4. Переходя в гамильтониане $H = H_0 + V$ в канал частица-дырка, получаем:

$$H = (\omega - f_0) C_1 + \frac{1}{5} f_0 C_1^2 + \frac{1}{10} f_1 T^2 + \frac{1}{10} f_2 Q^2 + \frac{1}{10} f_3 F^2 + \frac{1}{70} f_4 H^2. \quad (13)$$

C_1 , T^2 и F^2 были определены ранее. Операторы Q^2 и H^2 равны:

$$Q^2 = Q_0^2 + 2Q_{-1}Q_1 + 4Q_{-2}Q_2 + \frac{21}{5}T_0 + \frac{8}{5}F_0,$$

$$H^2 = H_0^2 + 10H_{-1}H_1 + 10H_{-2}H_2 + 70H_{-3}H_3 + 140H_{-4}H_4 + 70T_0 - 15F_0.$$

Константы взаимодействия в канале частица-дырка связаны с константами в канале частица-частица:

$$f_0 = \frac{1}{5}G_0 + G_3 + \frac{9}{5}G_4,$$

$$f_1 = \frac{1}{5}G_0 + \frac{1}{2}G_2 - \frac{6}{5}G_4,$$

$$f_2 = \frac{1}{5}G_0 - \frac{3}{14}G_2 + \frac{18}{35}G_4,$$

$$f_3 = \frac{1}{5}G_0 - \frac{4}{7}G_2 - \frac{9}{70}G_4,$$

$$f_4 = \frac{1}{5}G_0 + \frac{2}{7}G_2 + \frac{1}{70}G_4.$$

Гамильтониан (13) составлен из генераторов группы U_5 . Квадратичный оператор Казимира группы SU_5 равен:

$$C_2(SU_5) = 7(T^2 + F^2) + 5Q^2 + H^2 = 56C_1(C_1 + 5).$$

Найдя H^2 из (13), F^2 из $C_2(R_5)$ и подставляя их в (13), получаем:

$$H = (\omega - f_0 + 4f_4)C_1 + \frac{1}{5}(f_0 + 4f_4)C_1^2 + \frac{1}{10}(f_3 - f_4)C_2(R_5) - \frac{f_1 - f_3}{10}T^2 + \frac{f_2 - f_4}{14}Q^2.$$

При $f_2 = f_4$ (или, что то же самое, $G_2 = G_4$) точное собственное значение гамильтониана равно:

$$(\omega - f_0 + 4f_4)n + \frac{1}{5}(f_0 + 4f_4)n^2 + \frac{1}{8}(f_3 - f_4)\ell_0(\ell_0 + 6).$$

Ротационной полосы в этом случае не возникает. При $G_2 \neq G_4$ ротационная полоса появляется, но ℓ_0 , определяющее неприводимое представление R_5 , перестает быть хорошим квантовым числом. Заметим, что получаемая таким образом ротационная полоса оказывается конечной. Погибели дела, она есть следствие того, что полный гамильтониан имеет низшую степень симметрии (R_3) по сравнению с исходным гамильтонианом (SU_5).

7. С другой стороны, в работе /3/ из анализа экспериментальных данных был сделан вывод, что ротационная полоса в ядрах формируется таким образом, что никакие два члена ротационной полосы не принадлежат одному и тому же мультиплету SU_5 . Например, вращательная полоса основного состояния формируется из $0^+(n=0), 2^+(n=1), 4^+(n=2), \dots$; β -полоса состоит из $0^+(n=2), 2^+(n=3), 4^+(n=4), \dots$ и т.д. Посмотрим, нельзя ли организовать состояния внутри такой ротационной полосы в мультиплет некоторой группы Γ_1 . Поскольку вращательная полоса содержит все значения (для β -полосы, — только четные) угловых моментов, начиная с некоторого ℓ_{min} , то группа Γ_1 некомпактна. Далее, Γ_1 является подгруппой Γ , описывающей все ротационные мультиплеты.

Заметим, что начальные и конечные звенья этой цепочки определяются почти однозначно: в самом деле, группа трехмерных вращений состоит из генераторов T_0, T_1, T_{-1} . Вид T_0, T_1, T_{-1} однозначно фиксируется требованием, чтобы x_μ, p_ν были тензорными операторами второго ранга. С другой стороны, Γ определяется как некомпактное расширение SU_5 , содержащее каждый мультиплет SU_5 точно один раз. Таких расширений два /4/: $SU(5,1)$ и $Sp(5,5)$. Некомпактные генераторы равны:

a) для $SU(5,1)$

$$\sqrt{C_1 - 1} x_\mu, \sqrt{C_1} p_\nu,$$

b) для $Sp(5,5)$

$$x_\mu x_\nu, p_\mu p_\nu.$$

Заметим, что Γ_1 также определяется однозначно: единственной подгруппой, наиболее симметричное представление которой содержит только четные угловые моменты для β -полосы и все моменты для γ -полосы, является $GL(3R)/5!$. Легко убедиться, что из T_0, T_+, T_- , определенных соотношениями (8), и выписанных некомпактных генераторов невозможно построить $GL(3R)$. Это означает, что не существует промежуточной группы Γ_1 , которая описала бы все состояния только одной вращательной полосы.

8. Заметим, что $Sp(5,5)$ содержит подгруппу, являющуюся прямым произведением R_5 и $SO(2,1)$; R_5 генерируется операторами

T_μ, F_k ; генераторы $SO(2,1)$ равны:

$$S_0 = \frac{1}{2} (C_1 + \frac{5}{2}), S_+ = \frac{1}{2\sqrt{2}} I_0(x), S_- = \frac{1}{2\sqrt{2}} I_0(p).$$

Таким образом, состояния $Sp(5,5)$ разбиваются на некомпактные мультиплеты $SO(2,1) \times R_5$. Каждый мультиплет маркируется одним квантовым числом, которое равно n_0 (минимальному собственному значению C_1 в данном мультиплете $SO(2,1)$), и в то же самое время равно половине максимального момента, содержащегося в данном представлении R_5 ($n_0 = \frac{1}{2} l_{\max} = \frac{1}{2} l_0$). Поясним, почему наряду с мультиплетом (l_0, l_0) не встречаются мультиплеты (l_0+2, l_0) , (l_0+4, l_0) и т.д. Это связано с тем, что для данного значения числа n мультиплет R_5 встречается точно один раз. Появление мультиплета (l_0+2, l_0) привело бы, например, к тому, что имелось бы два мультиплета R_5 с одинаковыми (n, l_0) и разными n_0 .

Резюмируя, можно сказать, что SU_5 может быть вложено в некомпактную группу $Sp(5,5)$. При этом каждое представление SU_5 встречается точно один раз. $Sp(5,5)$ может быть разложена по представлениям некомпактной группы $SO(2,1) \times R_5$. При этом встречаются только мультиплеты вида (l_0, l_0) и только по одному разу. Каждый мультиплет $SO(2,1) \times R_5$ может быть, в свою очередь, разложен как по мультиплетам $SO(2,1)$, так и по мультиплетам R_5 . Например, l_0 мультиплет $SO(2,1)$ содержит собственные значения C_1 (т.е. оператора числа фононов), равные: $n = \frac{1}{2} l_0, \frac{1}{2} l_0 + 2, \frac{1}{2} l_0 + 4 \dots$

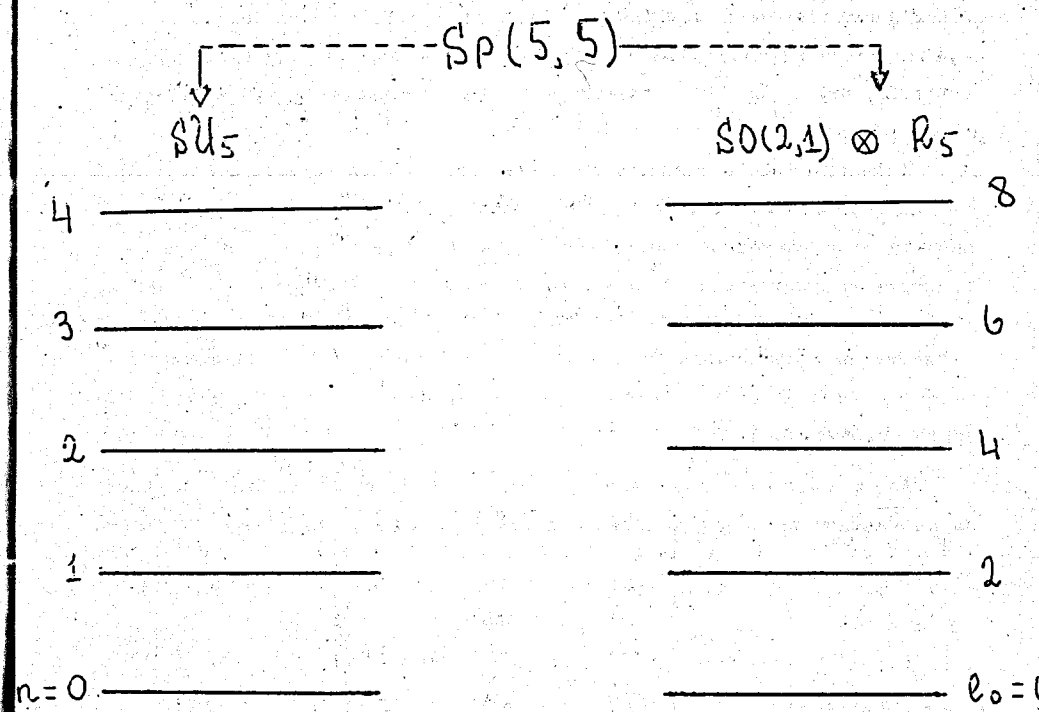


Рис.1

Разложение l_0 мультиплета R_5 дано в приложении 1. На рис. 1 схематически показано разложение $Sp(5,5)$ как на мультиплеты SU_5 , так и на мультиплеты $SO(2,1) \times R_5$. Ясно, что оба разложения полностью эквивалентны, но разложение на мультиплеты SU_5 лучше приспособлено для описания вибрационных свойств ядер (чему соответствует на рисунке "готовая" вибрационная полоса), тогда как разложение по мультиплетам $SO(2,1) \times R_5$ более удобно при описании ротационных свойств ядер (соответственно готовая ротационная полоса). Если гамильтониан инвариантен относительно SU_5 , то спектр — чисто вибрационный, т.к. оператор Казимира C_1 — единственный оператор, инвариантный

относительно всех преобразований SU_5 . Если гамильтониан инвариантен относительно $R_5 \times SO(2,1)$, то спектр определяется комбинацией операторов Казимира R_5 и $SO(2,1)$ и имеет вращательный характер. Взаимодействия, реализуемые в действительности, являются, по-видимому, промежуточными между этими двумя случаями. Разумеется, мы неявно предположили, что $Sp(5,5)$ является группой неинвариантности невозмущенного гамильтониана.

Позволим себе в заключение спекуляцию. Глядя на рис. 2 заимствованный из статьи Р. Шелайна /3/, трудно отделаться от мысли, что переход от сферических ядер района V к γ -нестабильным ядрам происходит, если гамильтониан перестает быть инвариантным относительно SU_5 , но сохраняет инвариантность относительно R_5 . (происходит расщепление на мультиплеты R_5 , сами же мультиплеты R_5 сохраняют свою целостность). При переходе в район вращений снимается инвариантность относительно R_5 .

Автор считает своим приятным долгом поблагодарить В.Г. Соловьева за постоянное внимание и интерес к работе, Р. Джолоса - за обсуждение.

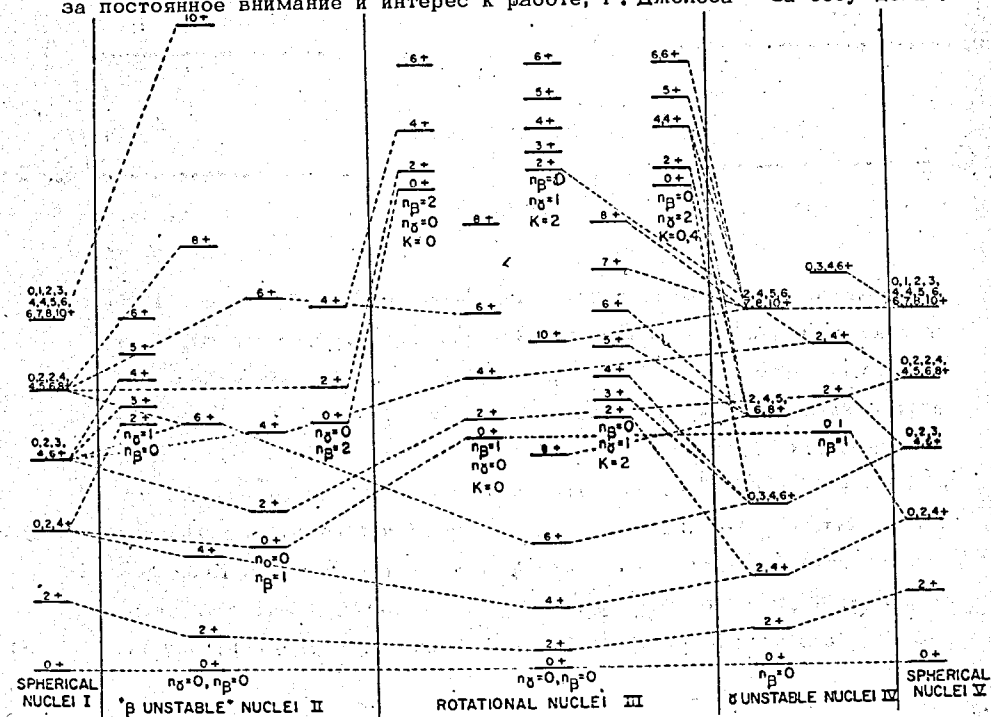


Рис.2

Приложение 1

Ниже приведены кратности вырождения по угловому моменту для наиболее симметричного представления R_5 , характеризуемого одним индексом n . В первой колонке даны угловые моменты, во второй - кратность вырождения, в третьей - пределы изменения. Величина m означает, что $\ell \equiv m \pmod{3}$.

$$n = 6\lambda, m = 0$$

$$T(6s) + T(6s+3) \quad s+1$$

$$0 \leq s \leq \lambda - 1$$

$$T(6\lambda) \quad \lambda + 1$$

$$T(6s) + T(6s-3) \quad 2\lambda + 1 - s$$

$$\lambda + 1 \leq s \leq 2\lambda$$

$$n = 6\lambda, m = 1$$

$$T(6s+1) + T(6s-2) \quad s$$

$$0 \leq s \leq \lambda - 1$$

$$T(6\lambda-2) \quad \lambda$$

$$T(6s+1) + T(6s+4) \quad 2\lambda - s$$

$$\lambda \leq s \leq 2\lambda$$

$$n = 6\lambda, m = 2$$

$$T(6s+2) + T(6s+5) \quad s$$

$$0 \leq s \leq \lambda - 1$$

$$T(6\lambda+2) \quad \lambda$$

$$T(6s+2) + T(6s-1) \quad 2\lambda - s$$

$$\lambda + 1 \leq s \leq 2\lambda$$

$$n = 6\lambda + 1, m = 0$$

$$T(6s) + T(6s+3) \quad s$$

$$0 \leq s \leq \lambda - 1$$

$$T(6\lambda) \quad \lambda$$

$$T(6s) + T(6s-3) \quad 2\lambda - s + 1$$

$$\lambda + 1 \leq s \leq 2\lambda$$

$$n = 6\lambda + 1, m = 1$$

$T(6s+1) + T(6s-2)$	s	$0 \leq s \leq \lambda - 1$
$T(6\lambda - 2)$	λ	—
$T(6s+1) + T(6s+4)$	$2\lambda - s$	$\lambda \leq s \leq 2\lambda$

$$n = 6\lambda + 1, m = 2$$

$T(6s+2) + T(6s+5)$	$s + 1$	$0 \leq s \leq \lambda - 1$
$T(6\lambda + 2)$	$\lambda + 1$	—
$T(6s+2) + T(6s-1)$	$2\lambda + 1 - s$	$\lambda + 1 \leq s \leq 2\lambda$

$$n = 6\lambda + 2, m = 0$$

$T(6s+1) + T(6s+3)$	s	$0 \leq s \leq \lambda - 1$
$T(6\lambda)$	λ	—
$T(6s+1) + T(6s-3)$	$2\lambda + 1 - s$	$\lambda + 1 \leq s \leq 2\lambda$

$$n = 6\lambda + 2, m = 1$$

$T(6s+1) + T(6s-2)$	s	$0 \leq s \leq \lambda$
$T(6\lambda + 4)$	$\lambda + 1$	—
$T(6s+1) + T(6s+4)$	$2\lambda + 1 - s$	$\lambda + 1 \leq s \leq 2\lambda$

$$n = 6\lambda + 2, m = 2$$

$T(6s+2) + T(6s+5)$	$s + 1$	$0 \leq s \leq \lambda - 1$
$T(6\lambda + 2)$	$\lambda + 1$	—
$T(6s+2) + T(6s-1)$	$2\lambda + 1 - s$	$\lambda + 1 \leq s \leq 2\lambda$

$$n = 6\lambda + 3, m = 0$$

$T(6s) + T(6s+3)$	$s + 1$	$0 \leq s \leq \lambda - 1$
$T(6\lambda)$	$\lambda + 1$	—
$T(6s) + T(6s-3)$	$2\lambda + 2 - s$	$\lambda + 1 \leq s \leq 2\lambda + 1$

$$n = 6\lambda + 3, m = 1$$

$T(6s+1) + T(6s-2)$	s	$0 \leq s \leq \lambda$
$T(6\lambda + 4)$	$\lambda + 1$	—
$T(6s+1) + T(6s+4)$	$2\lambda + 1 - s$	$\lambda + 1 \leq s \leq 2\lambda + 1$

$$n = 6\lambda + 3, m = 2$$

$T(6s+2) + T(6s+5)$	s	$0 \leq s \leq \lambda - 1$
$T(6\lambda + 2)$	λ	—
$T(6s+2) + T(6s-1)$	$2\lambda + 1 - s$	$\lambda + 1 \leq s \leq 2\lambda + 1$

$$n = 6\lambda + 4, m = 0$$

$T(6s) + T(6s+3)$	s	$0 \leq s \leq \lambda$
$T(6\lambda + 6)$	$\lambda + 1$	—
$T(6s) + T(6s-3)$	$2\lambda + 2 - s$	$\lambda + 1 \leq s \leq 2\lambda + 1$

$$n = 6\lambda + 4, m = 1$$

$T(6s+1) + T(6s-2)$	s	$0 \leq s \leq \lambda$
$T(6\lambda + 4)$	$\lambda + 1$	—
$T(6s+1) + T(6s+4)$	$2\lambda + 2 - s$	$\lambda + 1 \leq s \leq 2\lambda + 1$

$$n = 6\lambda + 4, m = 2$$

$T(6s+2) + T(6s+5)$	s	$0 \leq s \leq \lambda - 1$
$T(6\lambda + 2)$	$\lambda + 1$	—
$T(6s+2) + T(6s-1)$	$2\lambda + 2 - s$	$\lambda + 1 \leq s \leq 2\lambda + 1$

$$n = 6\lambda + 5, m = 0$$

$T(6s) + T(6s+3)$	s	$0 \leq s \leq \lambda$
$T(6\lambda + 6)$	$\lambda + 1$	—
$T(6s) + T(6s-3)$	$2\lambda + 2 - s$	$\lambda + 2 \leq s \leq 2\lambda + 1$

$$n = 6\lambda + 5, m = 1$$

$T(6s+1) + T(6s-2)$	s	$0 \leq s \leq \lambda$
$T(6\lambda + 4)$	λ	—
$T(6s+1) + T(6s+4)$	$2\lambda + 2 - s$	$\lambda + 1 \leq s \leq 2\lambda + 1$

$$n = 6\lambda + 5, m = 2$$

$T(6s+2) + T(6s+5)$	$s + 1$	$0 \leq s \leq \lambda - 1$
$T(6\lambda + 2)$	$\lambda + 1$	—
$T(6s+2) + T(6s-1)$	$2\lambda + 2 - s$	$\lambda + 1 \leq s \leq 2\lambda + 1$

Приложение. 2

Компактные генераторы SU_5 :

$$T_0 = 2(x_2 p_2 - x_{-2} p_{-2}) + x_1 p_1 - x_{-1} p_{-1}$$

$$T_1 = \sqrt{2}(x_2 p_1 + x_{-2} p_{-2}) + \sqrt{3}(x_1 p_0 + x_0 p_{-1})$$

$$T_{-1} = (T_1)^+$$

$$F_0 = x_2 p_2 - x_{-2} p_{-2} - 2(x_1 p_1 - x_{-1} p_{-1})$$

$$F_1 = \sqrt{2}(x_1 p_0 + x_0 p_{-1}) - \sqrt{3}(x_2 p_1 + x_{-1} p_{-2})$$

$$F_2 = x_2 p_0 - x_0 p_{-2}$$

$$F_3 = x_1 p_{-2} + x_2 p_{-1}$$

$$F_{-\mu} = (F_\mu)^+$$

$$Q_0 = 2(x_2 p_2 + x_{-2} p_{-2}) - x_1 p_1 - x_{-1} p_{-1} - 2x_0 p_0$$

$$Q_1 = -\sqrt{6}(x_2 p_1 - x_{-1} p_{-2}) - x_1 p_0 + x_0 p_{-1}$$

$$Q_2 = \sqrt{2}(x_2 p_0 + x_0 p_{-2}) + \sqrt{3}x_1 p_{-1}$$

$$Q_{-\mu} = (Q_\mu)^+$$

$$H_0 = x_2 p_2 + x_{-2} p_{-2} - 4(x_1 p_1 + x_{-1} p_{-1}) + 6x_0 p_0$$

$$H_1 = \sqrt{6}(x_1 p_0 - x_0 p_{-1}) - x_2 p_1 + x_{-1} p_{-2}$$

$$H_2 = \sqrt{3}(x_2 p_0 + x_0 p_{-2}) - 2\sqrt{2}x_1 p_{-1}$$

$$H_3 = x_1 p_{-2} - x_2 p_{-1}$$

$$H_4 = x_2 p_{-2}$$

$$H_{-\mu} = (H_\mu)^+$$

$$I_0(x) = x_0^2 + 2(x_2 x_{-2} - x_1 x_{-1})$$

$$I_0(p) = p_0^2 + 2(p_2 p_{-2} - p_1 p_{-1})$$

Л и т е р а т у р а

1. V. Bargmann. Comm. Pure Appl. Math., 14, 187 (1961).
2. Г. Вейль. Классические группы, их инварианты и представления.
ИЛ, 1947.
3. R.K. Sheline. Revs.Mod.Phys., 32, 1 (1960).
4. R.C. Hwa, J. Nuyts. Phys.Rev., 145, 1188 (1965).
5. N. Mukunda, L.O' Raifeartaigh, E.C.G. Sudarshan. Syracuse
Preprint NYO-3399 - 30 (1966).

Рукопись поступила в издательский отдел
1 апреля 1970 года.